

## LMI에 기초한 불확정대체계의 분산 로바스트상대반결합조종기설계

리진성

경애하는 김정은동지께서는 다음과 같이 말씀하시였다.

《인민경제의 현대화, 정보화실현의 전략적목표는 모든 생산공정을 자동화, 지능화하고 공장, 기업소들을 무인화하는것입니다.》(《조선로동당 제7차대회에서 한 중앙위원회사업총화보고》 단행본 48페이지)

선행연구들[2—4]에서는 대체계의 각이한 조종기설계방법을 제기하였으나 동정의 부정확성 등 여러가지 요인으로 생기는 불확정성에 대해서는 논의하지 못하였다.

논문에서는 불확정대체계가 로바스트안정이기 위한 분산로바스트상대반결합조종기를 LMI방법에 기초하여 설계하였다.

### 1. LMI에 기초한 분산로바스트상대반결합조종기설계

$N$  개의 부분체계들로 구성되어있는 불확정대체계의 상태방정식은 다음과 같이 표시할 수 있다.

$$\dot{x}_i(t) = [A_i + \Delta A_i]x_i(t) + [B_i + \Delta B_i]u_i(t) + \sum_{j=1, j \neq i}^N [A_{ij} + \Delta A_{ij}]x_j(t), \quad i=1, \dots, N \quad (1)$$

여기서  $x_i(t) \in R^{n_i}$ ,  $u_i(t) \in R^{m_i}$ 는  $i$  제 부분체계의 상태 및 조종력벡토르,  $A_i$ ,  $B_i$ 는 상수행렬,  $A_{ij}(j \neq i)$ 는  $i$  제 부분체계와  $j$  제 부분체계사이의 호상관련행렬이다.

이때 체계의 불확정성이 다음과 같은 조건을 만족시킨다고 가정하자.

$$|\Delta A_{ij}| < E_{aij}, \quad |\Delta B_i| < E_{bi}, \quad i, j=1, \dots, N \quad (2)$$

여기서  $|\Delta A_{ij}| < E_{aij}$ ,  $|\Delta B_i| < E_{bi}$ 는 행렬의 매개 원소  $|a_{ij}| < e_{ij}$ 를 의미하며  $E_{aij}$ ,  $E_{bi}$ 는 실상수행렬이다.

그러면 매개의 부분체계에 대하여 1개의 상태반결합조종기는 다음과 같이 설계할 수 있다.

$$u_i(t) = K_i x_i(t) \quad (3)$$

이제 반결합증폭도행렬  $K_i \in R^{m_i \times n_i}$ 가 닫힌대체계의 안정성을 보장하는 문제를 논의하자. 이를 위해 식 (3)을 식 (1)에 넣으면 닫힌체계의 상태방정식은

$$\dot{x}_i = [A_i + \Delta A_i]x_i + [B_i + \Delta B_i]K_i x_i + \sum_{j=1, j \neq i}^N [A_{ij} + \Delta A_{ij}]x_j \quad (4)$$

로 된다.

한편 분산체계에서 라뵈노브함수를 다음과 같이 쓸수 있다.

$$V(x) = x^T P x = \sum_{i=1}^N x_i^T P_i x_i \quad (5)$$

식 (5)에 도함수를 취하면 다음식이 얻어진다.

$$\begin{aligned} \dot{V}(x) = \sum_{i=1}^N (\dot{x}_i^T P_i x_i + x_i^T P_i \dot{x}_i) = \sum_{i=1}^N \left\{ x_i^T (A_i^T P_i + P_i A_i + \Delta A_i^T P_i + P_i \Delta A_i + \right. \\ \left. + K_i^T B_i^T P_i + P_i B_i K_i + K_i^T \Delta B_i^T P_i + P_i \Delta B_i K_i) x_i + 2 x_i^T P_i \sum_{j=1, j \neq i}^N (A_{ij} + \Delta A_{ij}) x_j \right\} \end{aligned} \quad (6)$$

식 (6)에서 매개 항은 다음과 같이 변환할수 있다.

$$\begin{aligned} \alpha_i P_i P_i + \alpha_i^{-1} \Gamma(E_{a ii}) &\geq P_i \Delta A_i + \Delta A_i^T P_i \\ \beta_i P_i P_i + \beta_i^{-1} K_i^T \Gamma(E_{b i}) K_i &\geq P_i \Delta B_i K_i + K_i^T \Delta B_i^T P_i \\ \sum_{i=1}^N 2 x_i^T P_i \sum_{j=1, j \neq i}^N (A_{ij} + \Delta A_{ij}) x_j &\leq \sum_{i=1}^N \sum_{j=1, j \neq i}^N [x_i^T P_i (A_{ij} A_{ij}^T + \Delta A_{ij} \Delta A_{ij}^T) P_i x_i + 2 x_j^T x_j] \leq \\ &\leq \sum_{i=1}^N (x_i^T P_i F_{1i} P_i x_i + x_i^T P_i F_{2i} P_i x_i + F_{3i} x_i^T x_i), \quad (\alpha = 1) \end{aligned} \quad (7)$$

여기서

$$\begin{aligned} F_{1i} &= \sum_{j=1, j \neq i}^N A_{ij} A_{ij}^T, \quad F_{2i} = \sum_{j=1, j \neq i}^N \Omega(E_{a ij}), \quad F_{3i} = 2(N-1)I \\ \Omega(E_{a ij}) &\geq \Delta A_{ij} \Delta A_{ij}^T, \quad \Gamma(E_{a ii}) \geq \Delta A_{ii}^T \Delta A_{ii} \\ \Omega(E_{a ij}) &= \begin{cases} \|E_{a ij} E_{a ij}^T\| I, & \|E_{a ij} E_{a ij}^T\| I < n \cdot \text{diag}(E_{a ij} E_{a ij}^T) \\ n \cdot \text{diag}(E_{a ij} E_{a ij}^T), & \text{기 타} \end{cases} \\ \Gamma(E_{a ii}) &= \begin{cases} \|E_{a ii}^T E_{a ii}\| I, & \|E_{a ii}^T E_{a ii}\| I < m \cdot \text{diag}(E_{a ii}^T E_{a ii}) \\ m \cdot \text{diag}(E_{a ii}^T E_{a ii}), & \text{기 타} \end{cases} \end{aligned}$$

이며  $n, m$  은  $\Delta A_{ij}$  의 행과 렬의 차수이다.

식 (7)을 식 (6)에 넣으면 다음의 식이 얻어진다.

$$\begin{aligned} \dot{V}(x) \leq \sum_{i=1}^N x_i^T [A_i^T P_i + P_i A_i + \alpha_i P_i P_i + \alpha_i^{-1} \Gamma(E_{a ii}) + K_i^T B_i^T P_i + P_i B_i K_i + \\ + \beta_i P_i P_i + \beta_i^{-1} K_i^T \Gamma(E_{b i}) K_i + P_i F_{1i} P_i + P_i F_{2i} P_i + F_{3i}] x_i \end{aligned}$$

따라서 라뵈노브안정성정리로부터 다음의 부등식

$$\begin{aligned} A_i^T P_i + P_i A_i + \alpha_i P_i P_i + \alpha_i^{-1} \Gamma(E_{a ii}) + K_i^T B_i^T P_i + P_i B_i K_i + \\ + \beta_i P_i P_i + \beta_i^{-1} K_i^T \Gamma(E_{b i}) K_i + P_i F_{1i} P_i + P_i F_{2i} P_i + F_{3i} < 0 \end{aligned} \quad (8)$$

이 성립하면 식 (8)은 정인정값대칭행렬  $P_i$ 를 풀이로 가지며 결국 대체계 (1)은 분산상태 반결합에 의하여 안정하다는것을 알수 있다.

이제

$$\Gamma(E_{aij}) = \Gamma(E_{aij})^{1/2} \Gamma(E_{aij})^{1/2}, \quad \Gamma(E_{bi}) = \Gamma(E_{bi})^{1/2} \Gamma(E_{bi})^{1/2}$$

로 놓고 식 (8)의 매 항의 양쪽에  $P_i^{-1}$  을 곱한 다음  $X_i = P_i^{-1}$ ,  $Y_i = K_i X_i$  로 놓으면

$$\begin{aligned} & X_i A_i^T + A_i X_i + \alpha_i I + \alpha_i^{-1} X_i \Gamma(E_{aii}) X_i + Y_i^T B_i^T + B_i Y_i + \\ & + \beta_i I + \beta_i^{-1} Y_i^T \Gamma(E_{bi}) Y_i + F_{1i} + F_{2i} + X_i F_{3i} X_i < 0 \end{aligned} \quad (9)$$

으로 되며 Schur의 보조정리로부터 식 (9)는 다음과 같은 LMI로 귀착된다.

$$\begin{bmatrix} \bar{A}_i & X_i \Gamma(E_{aii})^{1/2} & Y_i^T \Gamma(E_{bi})^{1/2} & X_i \\ \Gamma(E_{aii})^{1/2} X_i & -\alpha_i I & 0 & 0 \\ \Gamma(E_{bi})^{1/2} Y_i & 0 & -\beta_i I & 0 \\ X_i & 0 & 0 & -F_{3i}^{-1} \end{bmatrix} < 0 \quad (10)$$

여기서

$$\bar{A}_i = X_i A_i^T + A_i X_i + (\alpha_i + \beta_i) I + Y_i^T B_i^T + B_i Y_i + F_{1i} + F_{2i}$$

이다.

그러므로 식 (10)의 풀이를 구하면 분산상태반결합증폭도행렬은

$$K_i = -Y_i X_i^{-1} \quad (11)$$

로 되며 대체계 (1)은 분산상태반결합에 의하여 점근안정하다.

## 2. 수값모의실험

실험을 위해 우리는 2개의 부분체계로 구성된 불확정대체계의 파라미터행렬을 다음과 같이 주었다.

$$\begin{aligned} A_1 &= \begin{bmatrix} -1.97 & -0.31 \\ 0.91 & 0.8 \end{bmatrix}, & A_{12} &= \begin{bmatrix} -0.5 & 0.3 \\ 0 & 1.2 \end{bmatrix}, & B_1 &= \begin{bmatrix} 1 \\ 0 \end{bmatrix} \\ A_2 &= \begin{bmatrix} -1.32 & 0.34 \\ 0.1 & -0.87 \end{bmatrix}, & A_{21} &= \begin{bmatrix} -0.5 & 0 \\ 0 & 1 \end{bmatrix}, & B_2 &= \begin{bmatrix} 0 \\ 1 \end{bmatrix} \\ E_{a11} &= \begin{bmatrix} 1 & 0.2 \\ 0.3 & 0.17 \end{bmatrix}, & E_{a12} &= \begin{bmatrix} 0.04 & 0.01 \\ 0.03 & 0.04 \end{bmatrix}, & E_{a21} &= \begin{bmatrix} 0.04 & 0.01 \\ 0.06 & 0.01 \end{bmatrix} \\ E_{a22} &= \begin{bmatrix} 0.3 & 0 \\ 0 & 0.2 \end{bmatrix}, & E_{b1} &= \begin{bmatrix} 0.4 \\ 0.2 \end{bmatrix}, & E_{b2} &= \begin{bmatrix} 0.2 \\ 0.1 \end{bmatrix} \end{aligned}$$

이때 초기상태를  $x = [5 \ 5 \ 6 \ 6]$  으로 놓고 MATLAB에 의하여 선형행렬부등식 (10)을 풀면 부분체계 1과 2의 상태반결합증폭도는 다음과 같이 얻어진다.

$$K_1 = [-3.010 \ 7 \ -6.352 \ 3], \quad K_2 = [0.478 \ 5 \ -2.802 \ 8]$$

따라서 분산조종규칙은 다음과 같이 표시된다.

$$u_1(t) = [-3.010 \ 7 \ -6.352 \ 3]x_1(t), \quad u_2(t) = [0.478 \ 5 \ -2.808 \ 2]x_2(t)$$

모의실험결과는 그림과 같다.

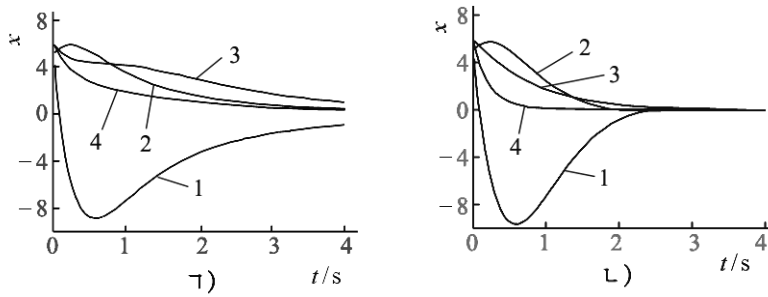


그림. 모의실험결과

ㄱ) 선행한 방법의 상태응답, ㄴ) 제안한 방법의 상태응답;  
1-  $x_{11}$  일 때, 2-  $x_{12}$  일 때, 3-  $x_{21}$  일 때, 4-  $x_{22}$  일 때

모의곡선으로부터 논문에서 설계한 조종기의 상태응답이 매우 빨리 령으로 수렴한다는 것을 알수 있다. 이것은 논문에서 설계한 조종기가 보다 더 효과적이라는것을 보여준다.

### 맺 는 말

LMI방법을 리용하여 불확정대체계의 분산로바스트상태반결합조종기를 설계하고 수 값모의실험을 통하여 그 효과성을 검증하였다.

### 참 고 문 헌

- [1] 김일성종합대학학보(자연과학), 61, 2, 17, 주체104(2015).
- [2] 陈宁 等; 中南工业大学学报, 34, 1, 84, 2003.
- [3] 桂卫华 等; 控制与决策, 16, 3, 329, 2001.
- [4] 陈宁 等; 中南工业大学学报, 34, 6, 661, 2003.

주체105(2016)년 6월 5일 원고접수

## Design of Decentralized Robust State Feedback Controller for the Uncertain Large-Scale Systems based on LMI

Ri Jin Song

We designed the decentralized robust state feedback controller for uncertain large-scale systems using LMI and verified its efficiency through the simulation.

Key words: state feedback, large-scale system, simulation